

Comment améliorer l'efficacité de l'analyse statique des programmes ?

Mamy Razafintsonina

1. Contexte

- ◆ **Frama-C** est une plateforme open-source pour l'analyse de programmes C.
- ◆ Composée d'un ensemble d'analyseurs, dont **EVA**, basé sur l'**interprétation abstraite**.
- ◆ Dans le développement de **logiciels de grande taille**, le code source devient volumineux et complexe.
- ◆ Des **modifications fréquentes** nécessitent des analyses régulières.
- ◆ Les changements sont souvent **petits** et **très localisés**.
- ◆ La **similarité** entre les versions du code permet une **analyse plus rapide**, réduisant le temps de vérification.

2. Réutilisation des résumés de fonction

- ◆ Les analyses d'EVA sont **sensibles aux contextes** et **modulaires** grâce à une technique de **résumé de fonction** existante.
- ◆ C'est un **cache** qui stocke les états d'entrée $I^\#$ et sortie $O^\#$ des fonctions.
- ◆ Cela permet d'**éviter de réanalyser** le corps de la fonction.
- ◆ Le cache des fonctions non modifiées est **rechargé** pour l'**analyse incrémentale**.
- ◆ Cela réduit le temps d'analyse pour les changements qui :
 - ◆ Ne modifient pas plusieurs fonctions.
 - ◆ N'affectent pas une fonction profondément imbriquée.

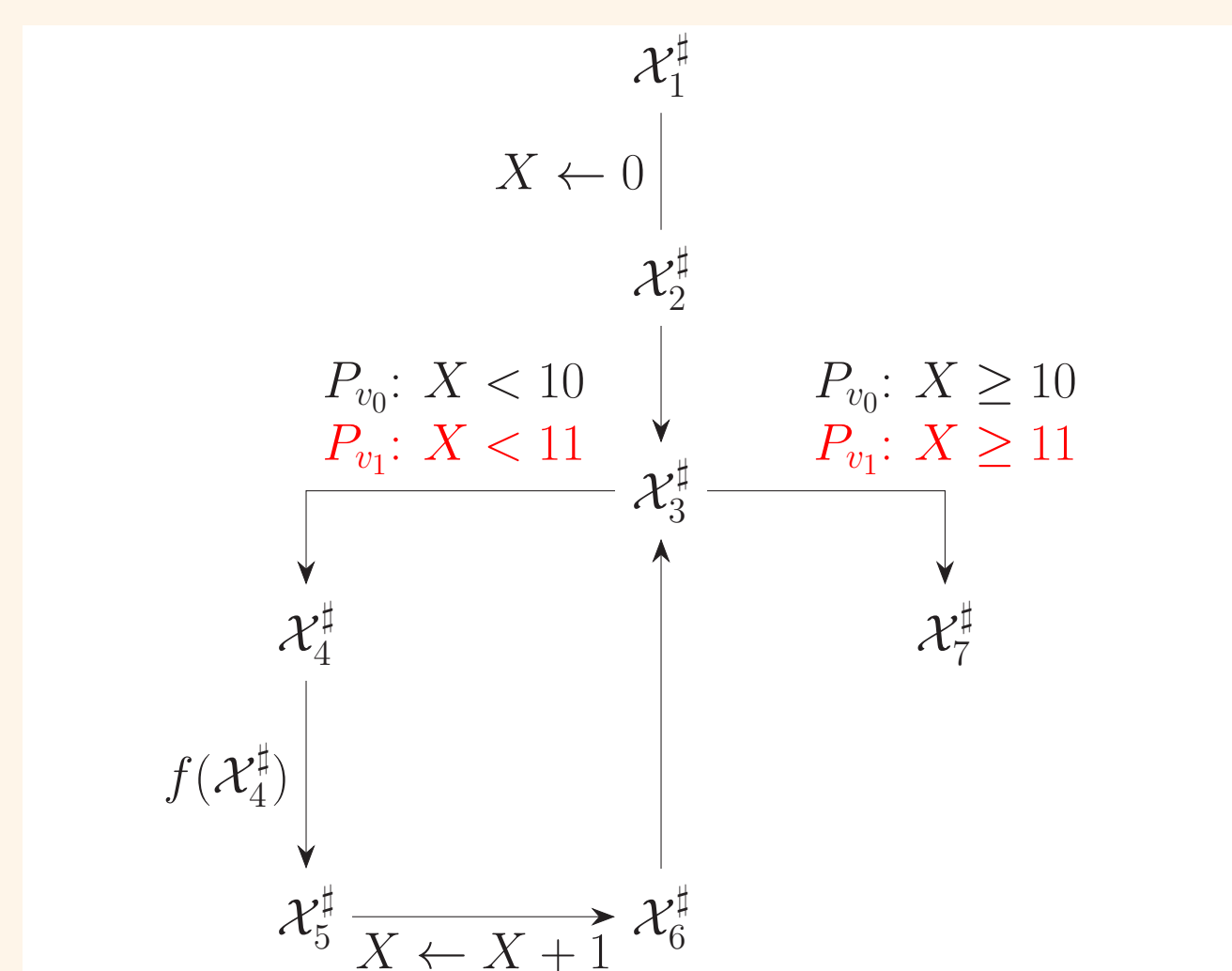


Figure 1: CFG d'un programme initial P_0 , et un programme modifié P_1 . Une itération complète jusqu'à convergence de la boucle de P_1 aboutira à une seule ré-analyse de f .

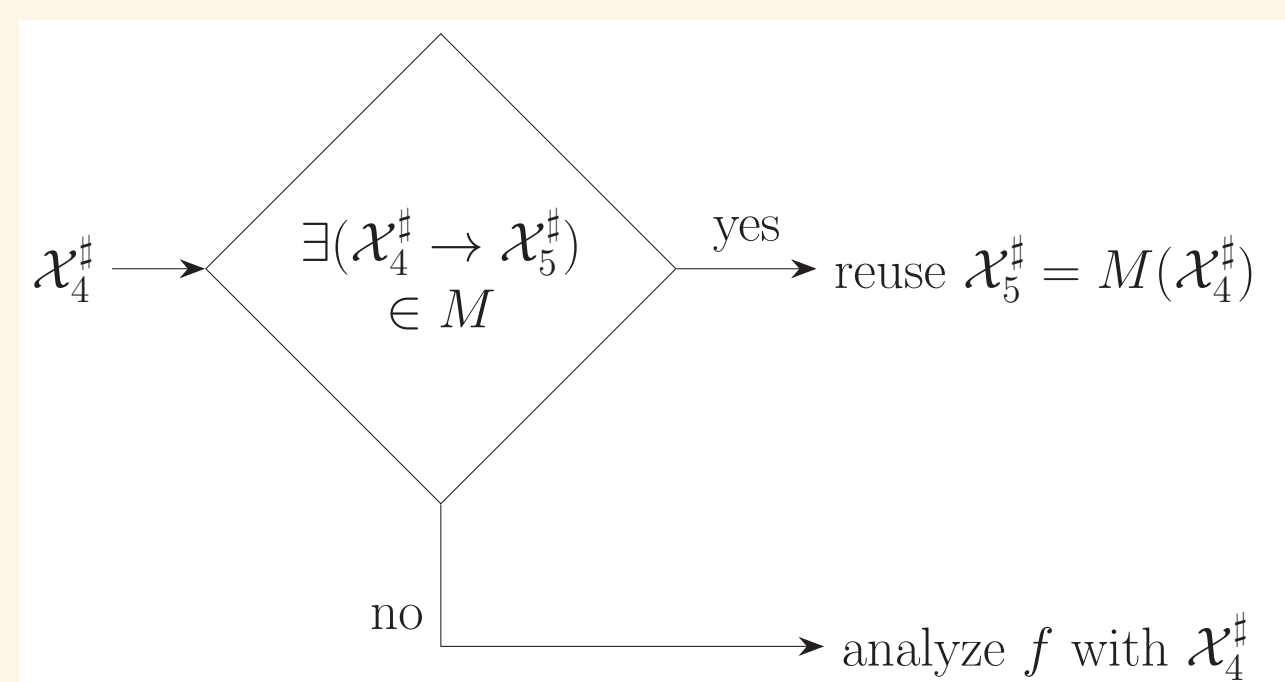


Figure 2: Recherche de la clé X_4 dans $M : I^\# \rightarrow O^\#$.

3. Réutilisation des invariants de boucle

- ◆ Si une fonction est modifiée, son cache est invalidé.
- ◆ Néanmoins, l'**analyse des boucles** de la fonction peut être **accélérée**.
- ◆ Des **itérations** peuvent être **évités** en commençant l'itération à partir de l'ancien invariant X^{old}_3 .
- ◆ Cette approche reste **sûre** même pour un invariant X arbitraire, mais peut générer une **perte de précision**.

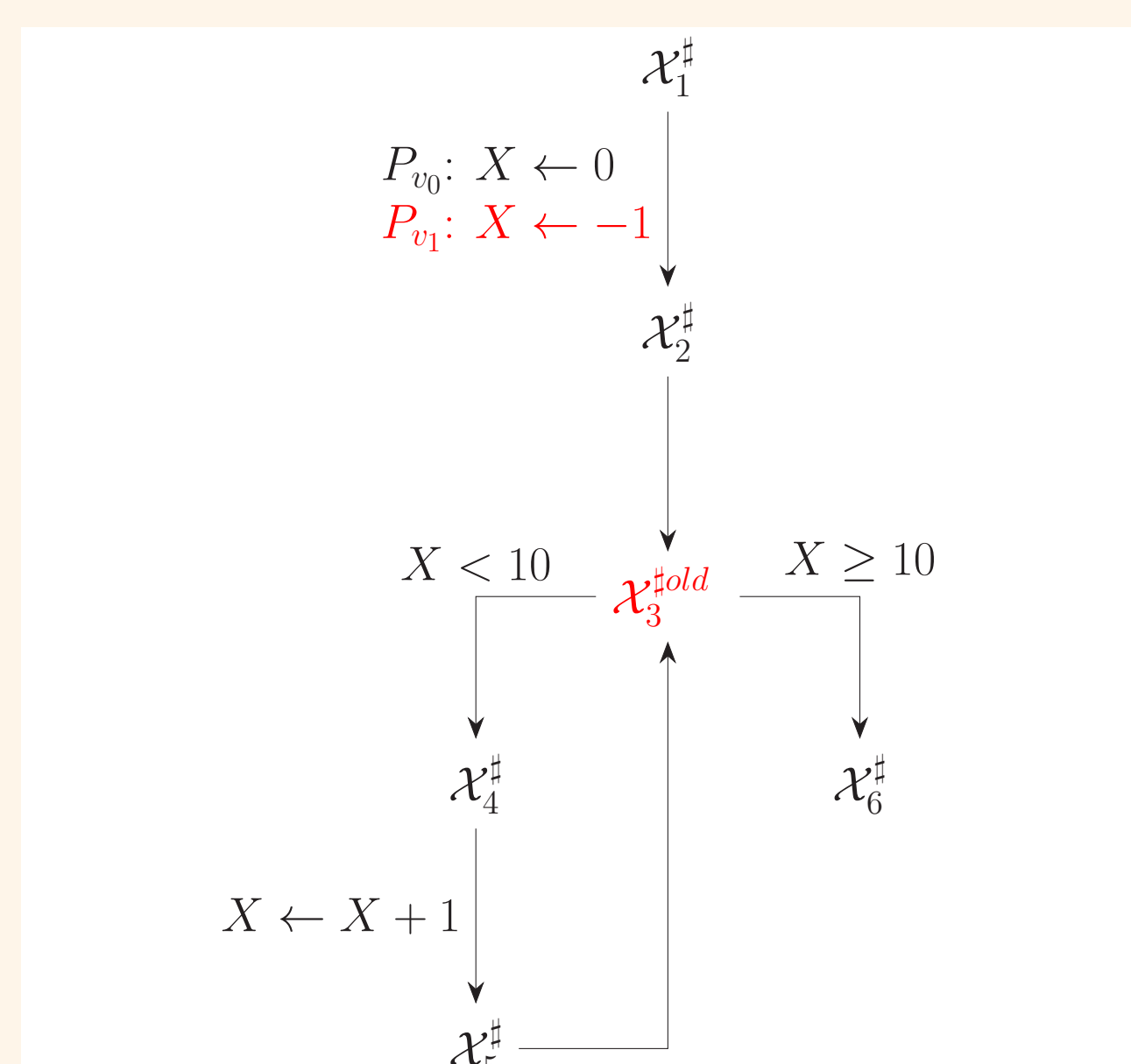


Figure 3: CFG de la boucle du programme initial P_0 et modifié P_1 .

$X_3^{i+1} = (X_3^{old} \sqcup^i X_3^{i0}) \nabla^i (X_3^{old} \sqcup^i X_2^{i0} \sqcup^i X_5^{i0})$
 $X_3^{2n} = X_3^{2n-1} \nabla^i (X_3^{2n-1} \sqcup^i X_5^{2n-1})$

Figure 4: Soit l'invariant X_j^{i0} , avec i le nombre d'itérations, et j un point du programme. X_3^{old} est l'invariant de la boucle du programme P_0 .

l	P_0			P_1	
	X_7^{i0}	X_7^{i1}	X_7^{i2}	X_7^{i0}	X_7^{i1}
1	⊤	⊤	⊤	⊤	⊤
2	⊥	0	0	⊥	-1
3	∇	0	$[0, +\infty[$	⊥	$[0, +\infty[\sqcup^i -1$
4	⊥	0	$[0, 9]$	⊥	$[-1, 9]$
5	⊥	1	$[1, 10]$	⊥	$[0, 10]$
6	⊥	⊥	$[0, +\infty[$	⊥	$[-1, +\infty[$

Table 1: Itérations de la boucle des programmes P_0 et P_1 . On atteint le point-fixe de P_1 avec moins d'itérations.

4. Résultats

- ◆ Les analyses sont effectuées successivement sur une intervalle de commits de **PolarSSL** et **Monocypher**.
- ◆ Pour un programme P avec des versions v_i , nous lançons une analyse EVA initiale de v_0 , et ensuite une analyse EVA incrémentale de toutes les v_i en réutilisant les résultats de v_{i-1} .
- ◆ Les résultats incluent le temps de parsing, chargement du cache, calcul de la différence des ASTs, et l'analyse avec EVA.
- ◆ Par rapport à une analyse normale de **PolarSSL** (resp. **Monocypher**) :
 - ◆ L'analyse avec réutilisation des résumés de fonction est **4x** (resp. **1,7x**) **plus rapide**.
 - ◆ L'analyse en **combinant** les deux approches est **6x** (resp. **1,7x**) **plus rapide**.
 - ◆ Les pertes de précision sont négligeables, une alarme de plus pour la version v_3 (resp. v_4), même nombre d'alarmes pour le reste.

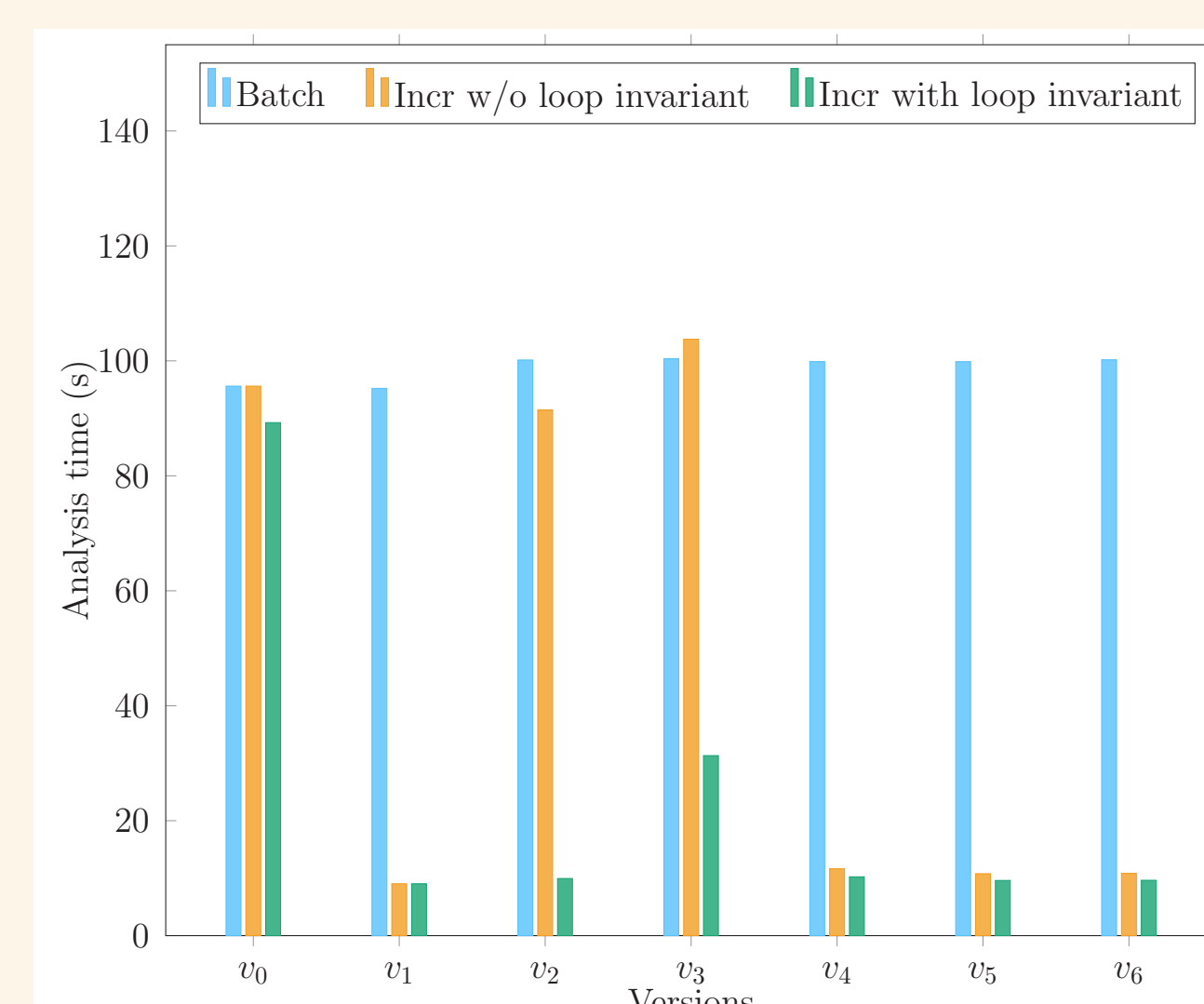


Figure 5: Temps d'analyse des versions successives de **PolarSSL**. Nous comparons le temps d'analyse incrémentale de V_i avec V_{i-1} par rapport au temps d'analyse normale de V_i .

v_i	Diff	LoC	Alarms (Batch)	Alarms (Incr)
v_0	10+/10-	28784	92	92
v_1	2+/1-	28784	92	92
v_2	6+/1-	28784	92	92
v_3	10+/0-	28799	92	93
v_4	6+/1-	28801	92	92
v_5	7+/0-	20533	92	92
v_6	10+/10-	20437	92	92

Table 2: Taille du code par version, patch appliqué et nombre d'alarmes émises pour l'analyse de **PolarSSL**.

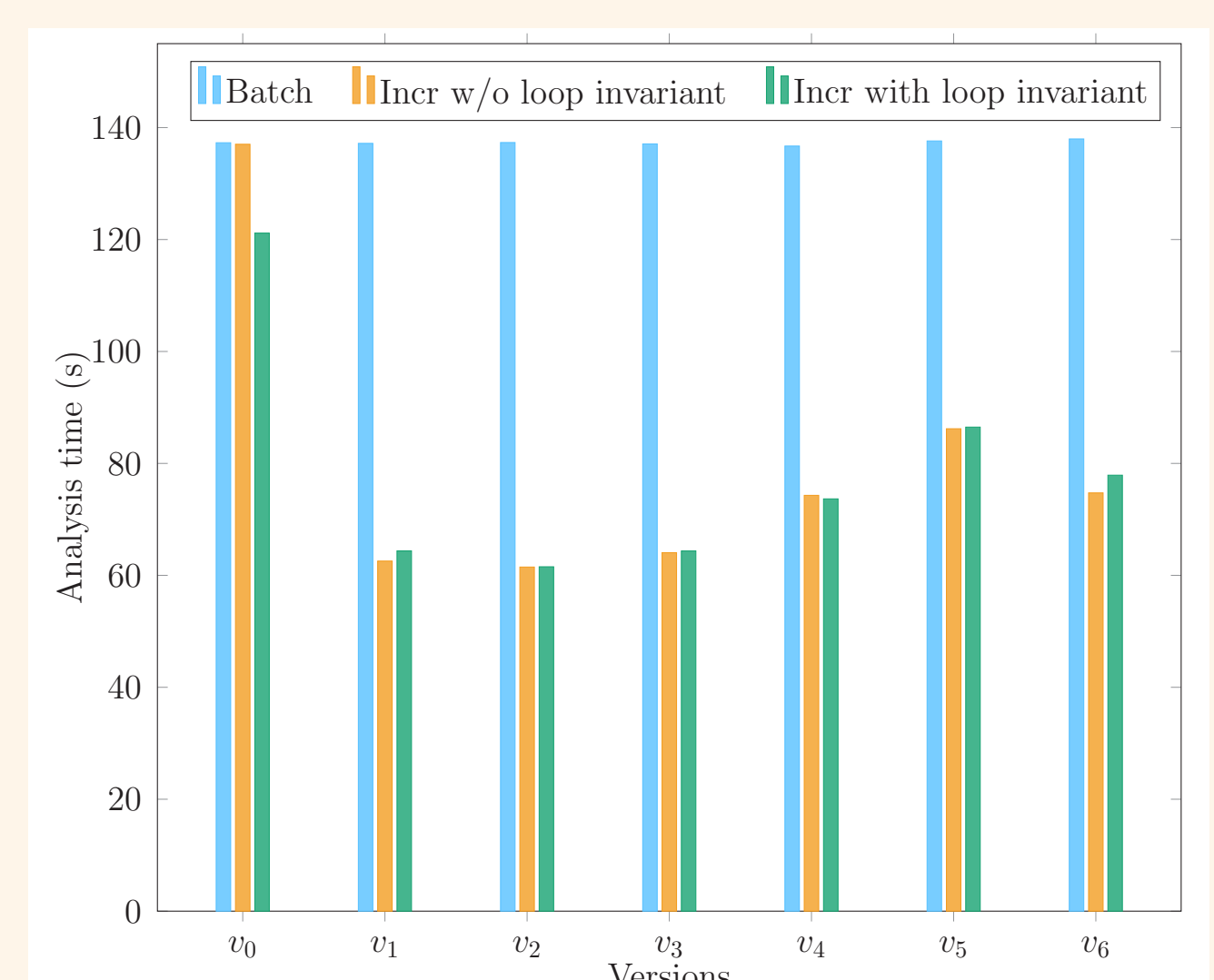


Figure 6: Temps d'analyse des versions successives de **Monocypher**. Nous comparons le temps d'analyse incrémentale de V_i avec V_{i-1} par rapport au temps d'analyse normale de V_i .

v_i	Diff	LoC	Alarms (Batch)	Alarms (Incr)
v_0	6+/6-	28227	178	178
v_1	1937+/1-	29491	178	178
v_2	1+/1-	29491	178	178
v_3	57+/73-	29431	178	178
v_4	7+/7-	29431	178	179
v_5	30+/33-	29429	178	178
v_6	5+/0-	29431	178	178

Table 3: Taille du code par version, patch appliqué et nombre d'alarmes émises pour l'analyse de **Monocypher**.

5. Perspectives

- Exploration des solutions pour améliorer la précision.
- Support des analyses où le **paramétrage** est se fait **incrémentalement**.
- Utilisation du **cache** au niveau des **boucles**.
- Rechargement **partiel** ou **différé** des caches précédents.

